

NaCl 胁迫对小黄花菜生长及相关生理指标的影响¹

耿晓东¹, 周英¹ 于明华², 汪成忠¹, 钱剑林^{1*}

(1.苏州农业职业技术学院, 江苏 苏州 215008; 2.苏州市园艺站, 江苏 苏州 215128)

摘要: 为探讨小黄花菜的耐盐机理, 选育良好的耐盐植物以缓解土壤盐渍化问题, 该研究选取小黄花菜 (*Hemerocallis minor*) 为试材, 采用砂培法, 研究不同浓度 NaCl (50、100、150、200、250 mmol·L⁻¹) 胁迫对小黄花菜的生长性状、细胞质膜透性和有机渗透调节物质含量等的影响。结果表明: (1) 小黄花菜在 100~150 mmol·L⁻¹ NaCl 胁迫浓度时损害初步显现, 但不影响其存活; 在 200 mmol·L⁻¹ 以上浓度时生长被显著抑制, 造成根系不发育、叶片受害、植株干物质积累显著不足, 严重影响其生存状态; (2) 50~150 mmol·L⁻¹ 盐渍环境下, 叶片膜透性、MDA 含量增幅较小, 该浓度范围的 NaCl 胁迫造成的膜脂损伤有限; 200 mmol·L⁻¹ 以上 NaCl 胁迫使得小黄花菜叶片的离子平衡无法继续维持, 膜的选择透性丧失; (3) 随着 NaCl 浓度的增加, 叶片中脯氨酸含量显著增加; 50~100 mmol·L⁻¹ 胁迫下, 叶片可溶性糖含量在胁迫初期有所增加, 在 15 d 时达到最大, 胁迫后期开始下降; 叶片中可溶性蛋白含量的变幅较为平缓, 说明小黄花菜的主要渗透调节物质不是可溶性蛋白。该研究发现通过提高叶片膜透性、促进自身有机渗透调节物质的合成, 能够在一定程度上缓解盐渍对植株的侵害, 使得小黄花菜能够在 50~150 mmol·L⁻¹ 以下盐碱地正常生长。

关键词: 小黄花菜, NaCl 胁迫, 渗透调节, 生长, 质膜透性

中图分类号: S682.1+9

文献标识码: A

Effects of NaCl stress on growth and related physiological indexes in *Hemerocallis minor*

GENG Xiaodong¹, ZHOU Ying¹ YU Minghua², WANG Chengzhong¹, QIAN Jianlin^{1*}

收稿日期: 2020-07-29

基金项目: 江苏现代农业产业技术体系建设专项资金(JATS [2020]340); 苏州农业职业技术学院青年教师科研能力提升计划(19QN1010); 苏州农业职业技术学院科技培育项目(PY2003)。[Supported by Jiangsu Agricultural Industry Technology System Project (JATS[2020]340); Suzhou Polytechnic Institute of Agriculture Young Teacher Research Capacity Improvement Program (19QN1010); Suzhou Polytechnic Institute of Agriculture Technology Cultivation Project (PY2003).]

作者简介: 耿晓东(1979-), 硕士, 副教授, 研究方向为花卉栽培生理研究, (E-mail) 7587633@qq.com。

***通信作者:** 钱剑林, 硕士, 教授, 研究方向花卉产业化应用, (E-mail) qianjl03@126.com。

(1.Suzhou Polytechnic Institute of Agriculture, Suzhou 215008, Jiangsu, China; 2.Suzhou Horticultural Station, Suzhou 215008, Jiangsu, China)

Abstract: To study the salt tolerance mechanism of *Hemerocallis minor* and select excellent salt-tolerant plants, sand culture in different concentrations of NaCl (50, 100, 150, 200, 250 mmol·L⁻¹) to explore the growth characteristics and related physiological indicators. The results were as follows: (1) 100-150 mmol·L⁻¹ NaCl stress caused initial damage. Growth was significantly inhibited in a salty environment above 200 mmol·L⁻¹. (2) NaCl stress above 200 mmol·L⁻¹ caused the cell membrane permeability and MDA content increased greatly. (3) The content of proline in the leaves increased significantly with the NaCl concentration increase; Under 50-100 mmol·L⁻¹ stress, the soluble sugar content increased at the initial stage then became decreased. The maximum appeared at 15th day; The slow change of soluble protein content in the leaves suggested it was not the main adjustment substance. *H. minor* could alleviate the salinity damage by improving cell membrane permeability and promoting the organic osmotic adjustment substances' synthesis. For these reasons, *H. minor* could grow normally in saline-alkali soil below 50-150 mmol·L⁻¹.

Keywords: *Hemerocallis minor*, NaCl stress, growth, membrane permeability, osmoregulation substance

我国盐碱地面积大,分布广,加之近年来工业污染和盲目过量的施用化肥,导致次生盐碱土壤面积的不断扩大。耐盐植物的有效引入、筛选和培育,是盐碱地生物改良的重要手段(张荣梅等,2017)。种植耐盐植物,可增加土壤植被覆盖度,由此减少地表水分的蒸发,同时植物枯枝落叶的分解物也可提高土壤有机质含量,在一定程度上提高盐碱土地的生产和利用价值(张蕴薇等,2012)。小黄花菜(*Hemerocallis minor*)是阿福花科(Asphodelaceae)萱草属(*Hemerocallis*)多年生草本植物,产于我国土壤盐碱地程度较为严重的华北、东北、陕西、甘肃等地,展叶较早,花大色艳,是十分优秀的街头或花境材料(秦荣和尚成武,2002),在引种至江苏后,观察到其在盐碱土环境中表现较好。如能在盐碱地区种植小黄花菜,可增加盐碱土植物种质资源。目前,国内外对小黄花菜的关注十分有限,研究集中在其化学成分和药用价值上(Zhao et al., 2018; 王建华等, 1993; 孔红和王庆瑞等, 1990)。因此,对小黄花菜耐盐性和耐盐生理机制的深入研究,有助于全面了解其耐盐能力,为耐盐植物的筛选扩大种质资源库,对小黄花菜在盐碱地区的推广和抗盐育种具有十分必要的现实意义。

Ismail et al. (2014)研究表明,可溶性 Na⁺和 Cl⁻引起植物内部结构和生理功能的变化,细胞或组织内的生理代谢过程发生差异性表达,主要包括:结构损伤、物质组分变化、酶活性变化以及光合作用和呼吸作用异常等。植物的耐盐机理不同,生理改变不同,耐盐性的表

现途径也有不同。逆境胁迫下，最直接的危害形式是渗透胁迫。植物体内水势在高浓度的盐渍环境中显著低于土壤水势，吸水能力受到严重抑制，导致植物吸水困难，抑制植物的生长；其次是离子失调导致的伤害。盐胁迫导致土壤中积累大量的 Na^+ ，直接干扰其他离子诸如 K^+ 、 Ca^{2+} 的吸收和均衡，从而导致植物的养分吸收受到抑制，使生长发育受损，严重时致其死亡（张金等，2015；周莹等，2019）。总之，植物自身的耐盐性能够反映植物体内多种抗盐性状的权衡。为深入探讨小黄花菜耐盐性和其耐盐生理机制，全面了解其耐盐能力，本研究选取小黄花菜 2 年生苗为试材，采用不同浓度 NaCl 溶液模拟自然盐胁迫环境，观测小黄花菜在不同程度盐胁迫下的生长状态，同时分析相关耐盐性生理指标之间的相关性及其耐盐机理，在一定程度上揭示小黄花菜的耐盐范围，为小黄花菜的后续研究和生产实践提供基础数据。

1 材料与方法

1.1 试验材料

试验地点设置于苏州农业职业技术学院相城科技园。为避免雨水对试验结果产生影响，该试验在遮雨棚中进行，遮雨棚四面通风。2019 年春季，选取生长状况良好、无病虫害且长势基本一致的小黄花菜 2 年生营养杯苗，栽植于装有混合基质（砂子蛭石按体积比 5:1）的试验盆中。试验盆上口直径为 25 cm，深度为 20 cm，每盆 3 株，每盆装基质 2.5 kg。胁迫前对苗木进行常规管理，采用不同浓度 NaCl 的 1/2 Hoagland 配方营养液每 2 d 浇灌 1 次，保证其能够正常生长。缓苗 1 周后，对幼苗进行盐胁迫处理，每 2 d 浇灌 1 次含有不同浓度的 NaCl 的 1/2 Hoagland 配方营养液，每次浇灌量为 500 mL。

1.2 试验设计

采用随机区组设计， NaCl 设置 5 个梯度水平（50、100、150、200、250 $\text{mmol}\cdot\text{L}^{-1}$ ）进行试验，每个处理 5 盆，3 次重复，以蒸馏水为对照（CK）。2019 年 7 月上旬对盆栽苗进行不同浓度盐胁迫处理，胁迫时长为 25 d。在胁迫处理的第 25 天进行植株形态和生物量的测定；在胁迫处理的 5、10、15、20、25 d 时，分别选取植株上相同方位中间位置功能叶片，选取时尽量保持叶片大小一致。流水及蒸馏水冲洗后的叶片用于测量膜透性。其余叶片经液氮处理后置入 $-80\text{ }^{\circ}\text{C}$ 超低温冰箱保存，之后进行各项生理生化指标的测定。每个指标重复测定 3 次。

1.3 试验方法

1.3.1 盐胁迫下的生长指标测定

1.3.1.1 植株形态指标测定

株高：测量植株基部到生长点的长度为株高；新生根数：盐胁迫处理 25 d 后统计长度大于 1 cm 的白色新生根数量。

1.3.1.2 叶片伤害指数

观察盐胁迫处理第 25 天的叶片受损情况。根据叶片表现受损程度将叶片伤害指数分为 0 级（叶片表现为形态正常）、I 级（叶片表现为有少量的叶脉、叶尖、叶缘等部位变黄）、II 级（叶片表现为有近一半的叶片焦枯）、III 级（叶片表现为有大部分叶片焦枯，部分有掉落现象）、IV 级（叶片表现为有大部分叶片掉落甚至死亡现象）。

$$\text{叶片伤害指数} = \Sigma \frac{\text{各级株数} \times \text{级数}}{\text{最高级数} \times \text{总株数}} \times 100\%$$

1.3.1.3 生物量

将清洗后的小黄花菜植株从根茎基部分离，擦干水分后分别测定叶片和根系的鲜重，之后分别放置于 80 °C 烘箱内，烘干至恒重后分别测定叶片和根系的干重。

$$\text{含水量} = \frac{\text{鲜重} - \text{干重}}{\text{鲜重}} \times 100\%$$

1.3.2 生理指标的测定

膜透性、丙二醛（MDA）含量、可溶性糖含量和可溶性蛋白含量参照李合生（2000）的方法进行测定。脯氨酸含量的测定参照邹琦（2000）的方法。

1.4 数据处理

试验数据采用 SPSS25.0 进行方差分析，采用 Duncan's 新复极差法进行多重比较，作图软件为 EXCEL2006。

2 结果与分析

2.1 NaCl 胁迫对小黄花菜生长的影响

不同浓度的 NaCl 胁迫处理 25 d 后，小黄花菜的各项形态指标发生了不同程度的变化（表 1）。其中，株高变化极为明显，除 50 mmol·L⁻¹ 外，各组别与 CK 间均达到显著差异（ $P < 0.05$ ），株高分别比 CK 降低了 4.48%、6.07%、18.21%、26.26%、31.31%；叶片数量和新生根数也有不同程度的减少，叶片数在 150 mmol·L⁻¹ 浓度胁迫时显著减少（ $P < 0.05$ ），在 250 mmol·L⁻¹ 浓度胁迫下，叶片数为 CK 的 65.28%，新生根数在 150 mmol·L⁻¹ 浓度胁迫时也表现出相同的降低趋势，至 250 mmol·L⁻¹ 浓度胁迫下，新生根数只为 CK 的 16.2%。

叶片伤害指数随着 NaCl 浓度升高呈现上升趋势，变化幅度从 11.7%直至 85.4%。50

mmol·L⁻¹ 浓度胁迫下，小黄花菜的叶片受害程度较低；100 mmol·L⁻¹ 浓度胁迫下，叶片受害程度开始明显显现；150 mmol·L⁻¹ 浓度胁迫时的叶片伤害指数达到 58.1%，大部分叶片显著出现叶缘枯焦，叶片枯黄的现象；250 mmol·L⁻¹ 浓度胁迫时的叶片伤害指数达到 85.4%，绝大部分的植株叶片受损极为严重，枯黄甚至枯萎。

表 1 NaCl 胁迫 25 d 的小黄花菜植株形态变化

Table1 The morphological changes of *H. minor* under different concentrations of NaCl stress

NaCl 浓度 NaCl concentration (mmol·L ⁻¹)	株高 Plant height (cm)	叶片数 Leaf number	新生根数 New root number	叶片伤害指数 Leaf damage index (%)
0 (CK)	28.33±2.54a	7.2±0.38a	10.3±1.5a	0d
50	27.06±2.19ab	7.1±0.46a	10.1±2.0a	11.7cd
100	26.61±2.38b	6.7±0.52a	8.5±1.9a	27.9c
150	23.17±3.04c	5.6±0.53b	5.5±1.1b	58.1b
200	20.89±3.90d	5.1±0.62bc	2.2±0.8bc	63.6b
250	19.46±3.82d	4.7±0.58c	1.67±0.4c	85.4a

注：同列数据中的不同小写字母代表 $P < 0.05$ 水平差异显著，下同。

Note: Small letters indicated different significance at $P < 0.05$ levels. The same below.

由表 2 可知，NaCl 胁迫 25 d 后，小黄花菜叶片和根系干物质含量呈现下降趋势。100 mmol·L⁻¹ 和 150 mmol·L⁻¹ 浓度胁迫时的叶片干物质含量与 CK 相比差异显著 ($P < 0.05$)；200 mmol·L⁻¹ 浓度胁迫的叶片干物质含量最低，平均值是 CK 的 52.58%；250 mmol·L⁻¹ 浓度胁迫的根系干物质含量降低至 CK 的 57.53%。由此可见，100~150 mmol·L⁻¹ 的 NaCl 胁迫对小黄花菜的干物质积累影响开始显现，在 200~250 mmol·L⁻¹ 浓度时达到最高。

叶片和根系含水量的变化幅度较小，均是在 150 mmol·L⁻¹ 浓度胁迫时与 CK 组差异显著，之后较为平稳。叶片和根系能够保持较为稳定的含水量，但干重显著下降，说明小黄花菜的干物质积累在高浓度的 NaCl 胁迫下受到极大影响，但此时根系还具备一定的水分吸收能力。综合分析小黄花菜各形态指标，发现小黄花菜在 200 mmol·L⁻¹ 以下浓度盐渍环境中的耐受能力较强。0~100 mmol·L⁻¹ 浓度的 NaCl 胁迫几乎不影响其正常的生长发育；100~150 mmol·L⁻¹ 浓度时损害初步显现，但不影响其存活；200 mmol·L⁻¹ 以上的浓度会造成小黄花菜的根系不发育、植株干物质积累显著不足、叶片萎蔫、焦枯，严重影响其生存状态，部分植株死亡。

表 2 NaCl 胁迫 25 d 的小黄花菜叶、根生物量和含水量变化

Table 2 Changes of leaf, root biomass and water content of *H. minor* under different concentrations of NaCl stress

处理 Treatment	叶片 Leaf		根系 Root	
	干重	含水量	干重	含水量
	Dry mass (g)	Water content (%)	Dry mass (g)	Water content (%)
0 (CK)	0.97±0.22a	80.73±2.43a	1.46±0.37a	73.55±2.26a
50	0.82±0.18ab	81.25±1.23a	1.42±0.25a	73.07±2.11a
100	0.75±0.19b	80.43±2.65ab	1.31±0.25ab	72.88±2.86ab
150	0.77±0.09b	79.32±3.20b	1.06±0.21c	71.69±3.26b
200	0.51±0.05c	79.56±4.18b	1.17±0.28bc	71.04±4.20b
250	0.54±0.08c	78.29±3.92b	0.84±0.19d	70.66±2.64b

2.2 不同程度 NaCl 胁迫对小黄花菜叶片膜透性的影响

从图 1 可以看出，小黄花菜叶片的细胞膜透性随着 NaCl 浓度增加而逐渐增强，各处理组之间差异显著 ($P < 0.05$)。不同时期各胁迫浓度间的变化趋势有所差异。50~100 mmol·L⁻¹ 浓度胁迫初期，膜透性变化不显著，表现出一定程度的 NaCl 耐受性，随着胁迫时间的延长，质膜透性显著增强；200~250 mmol·L⁻¹ 浓度胁迫初期，小黄花菜叶片的质膜透性显著增强，同时危害程度随着胁迫时间的延长愈加严重。

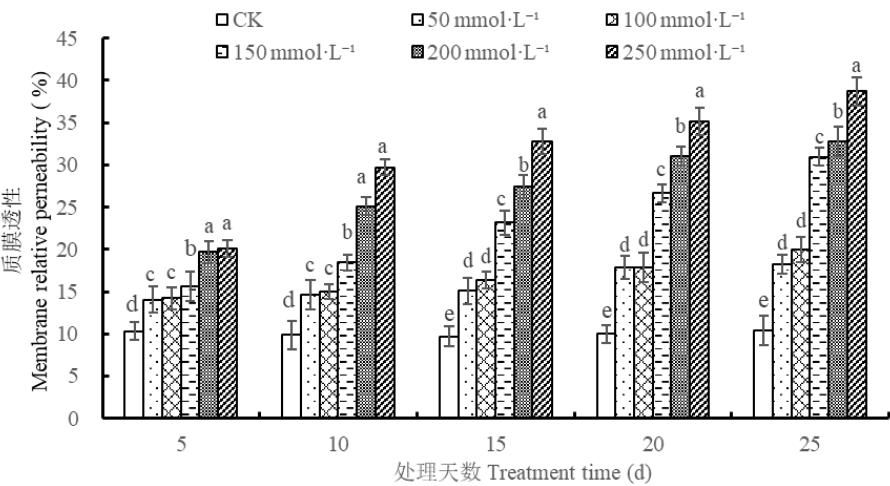


图 1 不同浓度 NaCl 胁迫下小黄花菜叶片细胞膜透性变化

Fig. 1 Changes of membrane relative permeability of *H. minor* leaves under different concentrations of NaCl stress

2.3 不同程度 NaCl 胁迫对小黄花菜 MDA 含量的影响

随着胁迫时间的延长, 各组别小黄花菜叶片 MDA 含量均呈现递增的趋势 (图 2)。在各时间点, 50~100 mmol·L⁻¹ 浓度胁迫的 MDA 含量增强较为缓慢, 胁迫至 20 d 时有所降低; 150 mmol·L⁻¹ 处理组在胁迫初期增长缓慢, 15 d 时 MDA 含量明显增加; 200~250 mmol·L⁻¹ 浓度胁迫时的 MDA 含量随着胁迫时间的延长, 增加幅度比较大, 且在各个处理时间点均与其它组别之间差异显著 ($P < 0.05$)。

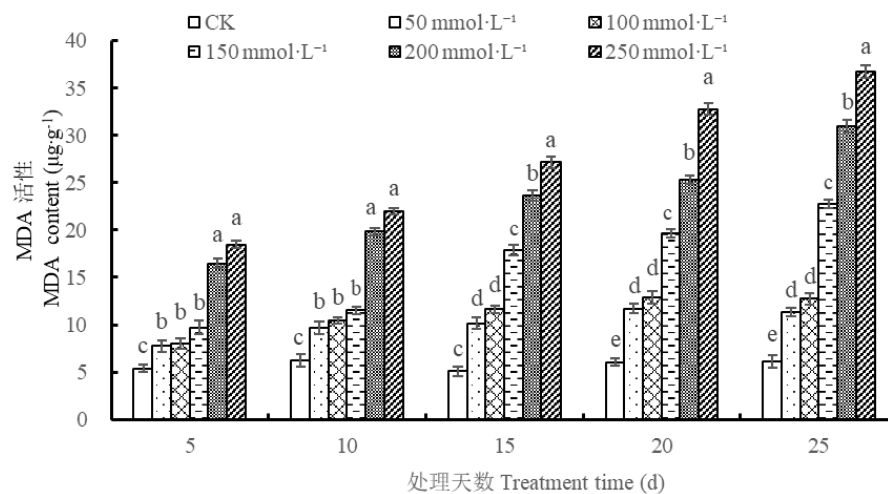


图 2 不同浓度 NaCl 胁迫下小黄花菜 MDA 含量变化

Fig. 2 Changes of MDA content of *H. minor* under different concentrations of NaCl stress

2.4 不同浓度 NaCl 胁迫对小黄花菜有机渗透调节物质的影响

从图 3 可以看出, 50、100、150 mmol·L⁻¹ 浓度的胁迫初期, 小黄花菜叶片的可溶性糖含量均有不同程度的提高, 最大值出现在 15 d 左右, 随后显著降低 ($P < 0.05$); 胁迫浓度为 200 和 250 mmol·L⁻¹ 时, 可溶性糖含量均明显低于 CK, 且随着胁迫时间的延长有较为明显的降低趋势。

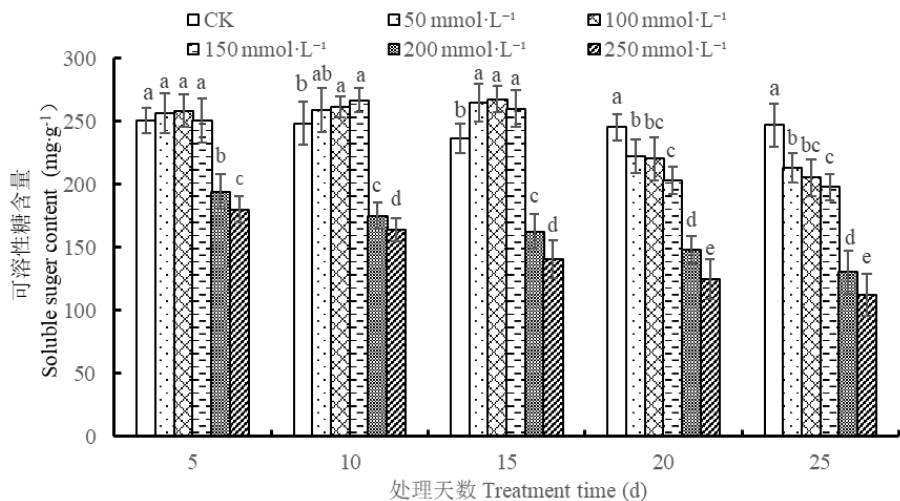


图 3 NaCl 胁迫下小黄花菜叶片可溶性糖含量变化

Fig. 3 Changes of leaf soluble sugar content of *H. minor* under different concentrations of NaCl stress

从图 4 可以看出，在不同处理组的同一处理时间点，小黄花菜叶片的可溶性蛋白含量差异不显著。处理 15 d 时，50~150 mmol·L⁻¹ 处理组和 CK 相比略有升高，但差异不显著；处理 20~25 d 时，200 和 250 mmol·L⁻¹ 的可溶性蛋白含量和 CK 相比显著降低 ($P < 0.05$)。

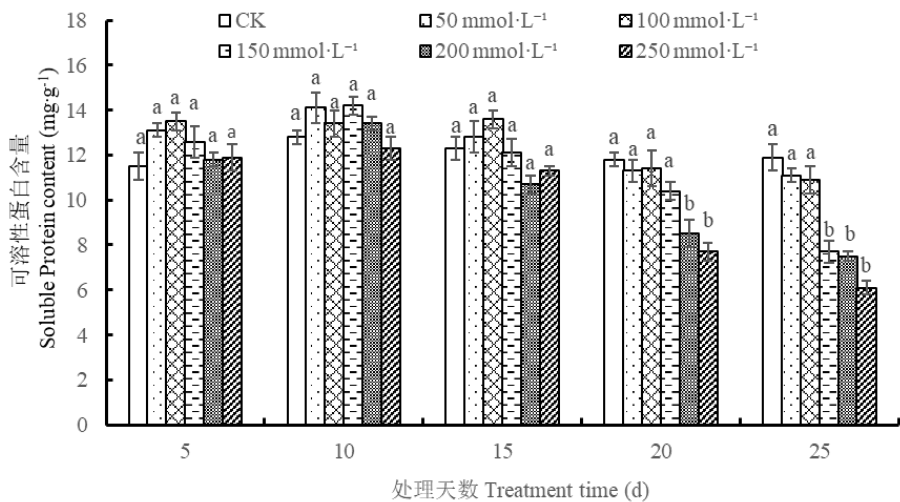


图 4 NaCl 胁迫下小黄花菜叶片可溶性蛋白含量变化

Fig. 4 Changes of leaf soluble protein content of *H. minor* under different concentrations of NaCl stress

图 5 为 NaCl 胁迫下小黄花菜叶片脯氨酸含量变化，在不同处理组的同一处理时间点，随着 NaCl 胁迫浓度提高，脯氨酸含量大幅度递增，并与 CK 相比达到显著性差异 ($P < 0.05$)；各组别叶片的脯氨酸含量在胁迫处理的第 5 天、第 10 天、第 15 天时增幅较大。特别是 50~150

mmol·L⁻¹NaCl 胁迫下增幅明显。胁迫处理第 15 天，50、100、150 mmol·L⁻¹ 组别的脯氨酸含量均达到最高值，较 CK 分别增加了 45.3%、 53.4%、 57.2%，之后，各处理组别脯氨酸含量均有不同程度的降低。

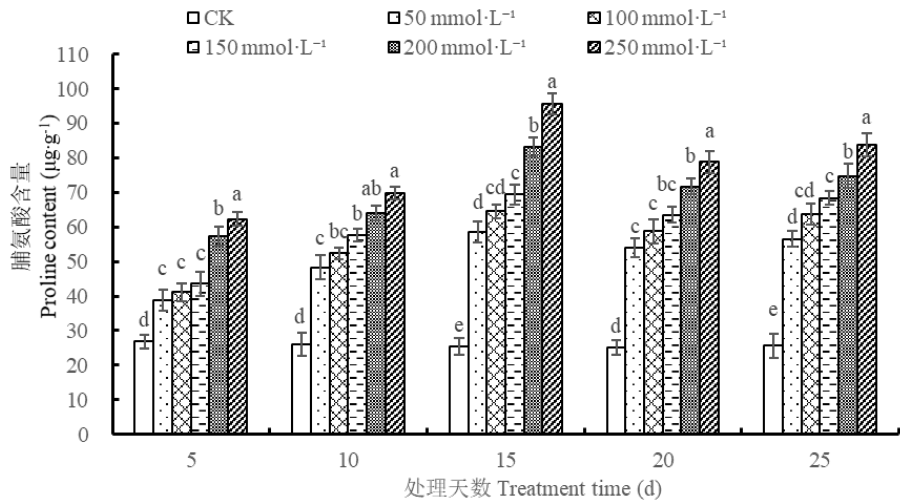


图 5 NaCl 胁迫下小黄花菜叶片脯氨酸含量变化

Fig. 5 Changes of leaf proline content of *H. minor* under different concentrations of NaCl stress

3 讨论与结论

土壤盐渍化导致植物的渗透调节能耗和维持生长能耗增加，这些因素一般会降低植物单株的生长量和净积累量（Parvaiz & Satyawati, 2008; 党培培等, 2019）。本研究中，小黄花菜的生长指标，如叶片数量、新根数量、植株高度在盐渍环境中均有不同程度的降低，说明一定浓度的 NaCl 胁迫抑制小黄花菜的生长，但只有在 100~150 mmol·L⁻¹ 时差异才与 CK 出现显著性差异，表明小黄花菜不是盐敏感植物。此外，随着 NaCl 浓度的升高，小黄花菜的干物质积累量的变化是趋于降低，但轻度盐渍环境对其干物质积累影响有限，这与其它形态指标的结果类似。小黄花菜的叶片干物质积累最先受到盐胁迫的影响，根系的干物质积累损失则在叶片伤害植物达到 50% 左右才开始显现。这些结果表明 NaCl 胁迫对小黄花菜叶片生长量的影响高于其对根系生长量的影响。这可能是由于小黄花菜根系较为发达，盐渍环境刺激了根系对水分、养分的吸收，其根系含水量基本保持稳定，减缓了干质量积累，同时也说明小黄花菜的地上部分对 NaCl 胁迫更为敏感。

面对盐胁迫压力，植物一方面通过渗透调节维持细胞代谢活动，同时通过增强抗氧化系统应对渗透胁迫（陈晓亚等, 2007; Liang et al., 2018; Jiang et al., 2019），另一方面，激发体内一系列酶和非酶的抗氧化物质协同作用，以此达到清除过量的自由基，减轻 NaCl 对细胞的过氧化伤害的目的（韩志平等, 2018; 权有娟等, 2019）。小黄花菜的细胞膜透性和

丙二醛含量均随着 NaCl 胁迫浓度的提高而增加, 在酶促和非酶促系统的共同调控之下, 较低浓度的盐胁迫造成的膜脂损伤有限; 但在中等浓度盐胁迫时, 离子平衡无法继续维持, 膜透性开始显著提高, 细胞膜伤害开始显现; 研究显示, 在 $200 \text{ mmol}\cdot\text{L}^{-1}$ 盐胁迫时, Na^+ 的过度积累使膜的选择透性丧失, 电解质大量渗透。本文研究结果显示了细胞膜透性和丙二醛含量的动态变化过程, 由此表明这两种指标能够很好地反映小黄花菜的质膜变化情况。

有研究表明, 盐胁迫处理下, 不同植株合成积累的渗透调节物质种类有所不同(张淑红等, 2005; 张蕴薇等, 2012; 石婧等, 2020)。本研究发现, 随着 NaCl 胁迫浓度提高, 小黄花菜叶片脯氨酸含量大幅度递增。由于积累的脯氨酸能够协调原生质体内外的渗透平衡, 同时维持酶的构象, 也减缓了可溶性蛋白的沉淀过程, 调节膨压, 从而解除电解质的毒害(赵佳伟等, 2019)。这一现象在多种植物的相关研究中已经得到证实(肖雯等, 2000; 孔强等, 2019; 陈桂平和张晓东, 2020;)。小黄花菜叶片可溶性糖含量变化趋势表明, 胁迫初期小黄花菜主要通过提高可溶性糖含量, 降低渗透势, 维持细胞的内外平衡, 而当胁迫超过一定程度时, 渗透调节系统遭到破坏, 细胞膜损伤严重, 电解质大量渗漏, 阻碍可溶性糖的合成和运输, 导致可溶性糖含量下降趋明显, 这与其它相关研究的结论相同(童辉等, 2012; 尚玥, 2017)。此外, 本研究结果显示, 随着 NaCl 胁迫程度加深, 小黄花菜叶片内的可溶性蛋白含量变化平缓, 可推测可溶性蛋白并不是小黄花菜的主要渗透调节物质, 这一结果与萱草属的其它物种有一定相似性(曹辉等, 2007; 韩志平等, 2018)。

综上所述, 小黄花菜对 $200 \text{ mmol}\cdot\text{L}^{-1}$ 浓度以下的盐渍环境有较强的抗性, 但在 $200 \text{ mmol}\cdot\text{L}^{-1}$ 以上浓度的盐渍环境中生长受到显著抑制, 如根系不发育、叶片受害、植株干物质积累显著不足等症状出现, 严重影响其生存状态; NaCl 胁迫下, 小黄花菜通过提高细胞膜透性、促进自身有机渗透调节物质的合成, 一定程度上缓解了盐渍对植株的侵害。但在 $200 \text{ mmol}\cdot\text{L}^{-1}$ 以上浓度时 Na^+ 的过度积累使得小黄花菜的离子平衡无法继续维持, 膜的选择透性丧失, 电解质大量渗透, 造成渗透胁迫。本研究证明, 脯氨酸和糖类物质代谢在小黄花菜的耐盐生理机制中发挥作用。

参考文献

- ISMAIL A, TAKEDA S, NICK P, 2014. Life and death under salt stress: same players, different timing? [J]. J Exp Bot, 65(12): 2963-2979.
- JIANG Z, ZHOU X, TAO M, et al., 2019. Plant cell-surface GIPC sphingolipids sense salt to trigger Ca^{2+} influx[J]. Nature, 572(7769): 341-346.
- LIANG WJ, MA XL, WAN P, et al., 2018. Plant salt-tolerance mechanism: a review[J]. Biochem Biophys Res Commun, 495(1): 286-291.

- PARVAIZ A, SATYAWATI S, 2008. Salt stress and phyto-biochemical responses of plants-a view[J]. *Plant Soil Environ*, 54(3): 89-99.
- CAO H, YU XY, QIU S, et al., 2007. Effects of salt stress on growth and related physiological characteristic in *Hermerocallis fulva*[J]. *J Hunan Agric Univ Nat Sci*, 33(6): 690-693. [曹辉, 于晓英, 邱收, 等, 2007. 盐胁迫对萱草生长及其相关生理特性的影响[J]. 湖南农业大学学报(自然科学版), 33(6): 690-693.]
- CHEN GP, ZHANG XD, 2020. Analysis of mechanism in salt tolerance of dandelion salt-tolerant mutant 'BINPU 1.'[J]. *Guihaia*, 28(5): 330-333. [陈桂平, 张晓东, 2020. 蒲公英耐盐突变体'滨蒲 1 号'的耐盐性研究[J]. 广西植物, 28(5): 330-333.]
- CHEN XY, TANG ZC, 2007. *Plant physiology and molecular biology* [M]. 3rd ed. Beijing: Higher Education Press, 533-551. [陈晓亚, 汤章城, 2007. 植物生理与分子生物学 [M]. 3 版. 北京: 高等教育出版社, 533-551.]
- DANG PP, LI MY, ZHAO Z, et al., Effects of saline-alkali stress on growth of *Chrysanthemum morifolium* 'Hanluhong'[J]. *Guihaia*, 39(2): 228-237. [党培培, 李明宇, 赵喆, 等, 2019. 混合盐碱胁迫对地被菊寒露红生长的影响[J]. 广西植物, 39(2): 228-237.]
- HAN ZP, ZHANG HX, LIU C, et al., 2018. Growth and physiological characteristics of daylily plants under NaCl stress[J]. *Acta Bot Boreal-Occidental Sin*, 38(9):1700-1706. [韩志平, 张海霞, 刘冲, 等, 2018. NaCl 胁迫对黄花菜生长和生理特性的影响[J]. 西北植物学报, 38(9): 1700-1706.]
- KONG H, WANG QR, 1990. A study on cytology of three cultivars of *Hemerocallis citrina* baroni (Liliaceae) [J]. *Guihaia*, 10(4): 325-328. [孔红, 王庆瑞, 1990. 黄花菜三个品种的细胞学研究[J]. 广西植物, 10(4): 325-328.]
- KONG Q, MA XH, GONG LX, et al., 2019. Growth and physiological responses of *Taxodium mucronatum* × *Cryptomeria fortunei* under different salt stress conditions[J]. *SW For Univ Nat Sci*, 39(2): 179-183. [孔强, 马晓华, 宫莉霞, 等, 2019. 不同盐胁迫条件下东方杉的生长及生理响应研究[J]. 西南林业大学学报, 39(2): 179-183.]
- LI HS, 2000. *Principles and techniques of plant physiology and biochemistry experiments*[M]. Beijing: Higher Education Press: 182. [李合生, 2000. 植物生理生化实验原理和技术[M]. 北京: 高等教育出版社: 182.]
- QIN R, SHANG CW, 2002. A daylily that combines edible, medicinal and ornamental purposes[J]. *Forest by product and speciality in China*, 5(2): 6. [秦荣, 尚成武, 2002. 集食用药用观赏于一身的小黄花菜[J]. 中国林副特产, 5(2): 6.]

- QUAN YJ, YUAN FM, LI X, et al., 2019. Response of seedling growth and physiological characteristics of *Chenopodium quinoa* Willd. under NaCl stress [J]. Guihaia, 12(07): 1-8.[权有娟, 袁敏飞, 李想, 等, NaCl 胁迫对藜麦幼苗生长及生理特性的影响[J]. 广西植物, 12(07): 1-8.]
- SHANG Y, LIU T, WU LJ, et al., 2017. Different adaptations to salt stress in different ploidies of wheat[J]. Guihaia, 37(12): 1560-1571. [尚玥, 刘韬, 吴丽军, 等, 2017. 不同倍性小麦对盐胁迫的适应性差异[J]. 广西植物, 37(12): 1560-1571.]
- SHI J, LIU DY, ZHANG FH, 2020. Physiological response and salt tolerance mechanism of cotton seedlings to salt stress[J]. Acta Agric Zhejiang, 32(7): 1141-1148. [石婧, 刘东洋, 张凤华, 2020. 棉花幼苗对盐胁迫的生理响应与耐盐机理[J]. 浙江农业学报, 32(7): 1141-1148.]
- TONG H, SUN J, GUO SR, et al., 2012. Effects of iso-osmotic $\text{Ca}(\text{NO}_3)_2$ and NaCl stress on the growth and osmotic substances of cucumber seedlings[J]. Acta Bot Boreal-Occidental Sin, 32(2): 306-311. [童辉, 孙锦, 郭世荣, 等, 2012. 等渗 $\text{Ca}(\text{NO}_3)_2$ 和 NaCl 对黄瓜幼苗生长及渗透调节物质含量的影响[J]. 西北植物学报, 32(2): 306-311.]
- WANG JH, YANG JX, 1993. A study on the poisonous plants of *Hemerocallis* L.[J]. Acta Bot Boreal-Occidental Sin, 13(4): 316-321. [王建华, 杨金祥, 1993. 萱草属有毒植物的研究[J]. 西北植物学报, 13(4): 316-321.]
- XIAO W, JIA HX, PU LM, 2000. Studies on physiological index of some halophytes[J]. Acta Bot Boreal-Occidental Sin, 20(5): 818-825. [肖雯, 贾恢先, 蒲陆梅, 2000. 几种盐生植物抗盐生理指标的研究[J]. 西北植物学报, 20(5): 818-825.]
- ZHAO XC, DU JL, XIE YG, et al., 2018. Chemical constituents of the flowers of *Hemerocallis minor*[J]. Chem Nat Compd, 54(3): 556-558.
- ZHANG JL, LI HR, GUO SY, et al., 2015. Research advances in higher plant adaptation to salt stress[J]. Acta Pratac Sin, 24(12): 220-236. [张金林, 李惠茹, 郭姝媛, 等, 2015. 高等植物适应盐逆境研究进展[J]. 草业学报, 24(12): 220-236.]
- ZHANG RM, MA YJ, 2017. Effect of NaCl stress on physiological characteristics of *Lycium ruthenicum* leaves[J]. J Gansu Agric Univ, 52(4): 110-117. [张荣梅, 马彦军, 2017. NaCl 胁迫对黑果枸杞叶片生理指标的影响[J]. 甘肃农业大学学报, 52(4): 110-117.]
- ZHANG RM, MA YJ, 2017. Effect of NaCl stress on physiological characteristics of *Lycium ruthenicum* leaves[J]. J Gansu Agric Univ, 52(4): 110-117. [张荣梅, 马彦军, 2017. NaCl 胁迫对黑果枸杞叶片生理指标的影响[J]. 甘肃农业大学学报, 52(4): 110-117.]

ZHANG SH, ZHANG EP, SI LT, et al., 2005. Effect of salt stress on osmotic substance content in cucumber seedlings[J]. China Veg, (12): 30-31. [张淑红, 张恩平, 司龙亭,等, 2005. 盐胁迫对黄瓜幼苗渗透调节物质含量的影响[J]. 中国蔬菜, (12): 30-31.]

ZHANG YW, LI HC, YANG FY, et al., 2012. Recent advances in salt tolerance of bioenergy grass in China[J]. J China Agric Univ, 17(6): 159-164. [张蕴薇, 李洪超, 杨富裕,等, 2012. 我国能源草耐盐性研究进展[J]. 中国农业大学学报, 17(6): 159-164.]

ZHAO JW, LI QY, LU B, et al., 2019. Physiological characteristics and comprehensive evaluation of *Pyrus calleryana* Decne. under NaCl stress[J]. Plant Physiol J, 55(1): 23-31. [赵佳伟, 李清亚, 路斌, 等, 2019. 不同品种北美豆梨对 NaCl 胁迫的生理响应及耐盐性评价[J]. 植物生理学报, 55(1): 23-31.]

ZHOU Y, ZHAO YJ, HUANG LJ, et al., 2019. Physiological responses of *Schizonepeta tenuifolia* Briq. seedlings to salt stress[J]. J Nucl Agric Sci, 33(1): 166-175. [周莹, 赵永娟, 黄丽瑾, 等, 2019. 荆芥幼苗对盐胁迫的生理响应[J]. 核农学报, 33(1): 166-175.]

ZOU Q, 2000. Guidance of plant physiological experiment[M]. Beijing: China Agricultural Press. [邹琦, 2000. 植物生理学试验指导[M]. 北京: 中国农业出版社: 137-138.]